

УДК 539.3

НЕСТАЦИОНАРНАЯ ЗАДАЧА О РАСПРОСТРАНЕНИИ ТРЕЩИНЫ В БАЛОЧНОМ ПРИБЛИЖЕНИИ

Л. А. Ткачева

Институт гидродинамики им. М. А. Лаврентьева СО РАН, 630090 Новосибирск
E-mail: tkacheva@hydro.nsc.ru

Рассматривается задача о нестационарном распространении трещины в балочном приближении. Используются две модели теории балок: Эйлера и Тимошенко. Распространение трещины описывается с помощью уравнения баланса энергии.

Ключевые слова: упругая балка, балка Эйлера, балка Тимошенко, энергетический критерий роста трещины, плотность поверхностной энергии, метод нормальных мод, метод Рунге — Кутты.

Балочное приближение в теории трещин значительно проще теории трещин в трехмерной упругой среде, тем не менее на его основе можно исследовать различные задачи механики трещин. Балочное приближение применимо при исследовании расслоения многослойных материалов, расклинивания, а также при расчете прочности соединения облицовочных покрытий. Балочное приближение в теории трещин развивалось в работах [1–5], в которых получены точные соотношения в кончике трещины и автомодельные решения, но нестационарное движение трещины при произвольной нагрузке не рассматривалось. Предлагаемый в данной работе подход позволяет описать нестационарное движение трещины при условии несмыкания ее берегов при произвольной симметричной нагрузке для симметричной трещины и при произвольной нагрузке для трещины с одним концом закрепленным, а другим — свободным. Приведены результаты расчетов для симметричной трещины при равномерно распределенной нагрузке.

Для описания упругих свойств балки используются две балочные теории: Эйлера и Тимошенко. В качестве критерия роста трещины применяется уравнение баланса энергии с учетом поверхностной энергии, высвобождающейся при образовании новых поверхностей. Для решения задачи используется метод нормальных мод: прогиб балки представляется в виде разложения по зависящим от переменной длины балки собственным функциям с неизвестными коэффициентами. Для определения коэффициентов разложения и длины трещины получены система нелинейных обыкновенных дифференциальных уравнений и неравенство, которые решаются методом Рунге — Кутты четвертого порядка.

Рассматривается призматическая упругая балка, приклеенная к жесткой поверхности. На некотором участке длиной $2l_0$ балка отслоилась и лежит на ней. В момент времени $t = 0$ на балку начинает действовать постоянная равномерно распределенная нагрузка P , направленная вверх, под действием которой балка начинает двигаться вверх, отрываясь

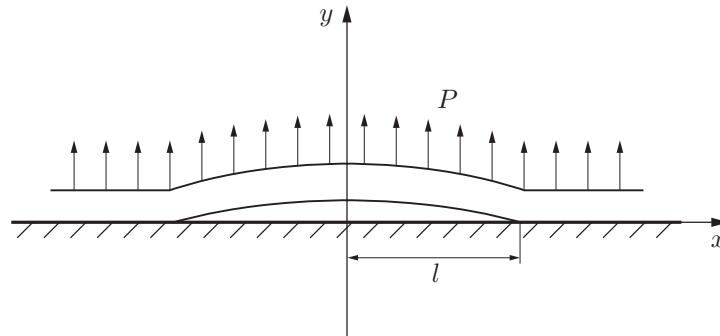


Рис. 1. Схема движения балки

от жесткой поверхности (рис. 1). На концах трещины ставятся условия жесткого защемления. Задача состоит в определении движения балки и зависимости длины отслоившегося участка от времени. Предполагается, что в клеевом слое плотность поверхностной энергии меньше, чем в материале балки (в противном случае трещина будет распространяться в самой балке).

1. Постановка задачи для балки Эйлера. Движение балки Эйлера описывается уравнением

$$\rho h \frac{\partial^2 w}{\partial t^2} + EI \frac{\partial^4 w}{\partial x^4} = P, \quad (1.1)$$

где ρ — плотность материала балки; h , w — толщина и прогиб балки; E — модуль Юнга; $I = h^3/12$ — момент инерции сечения балки. Уравнение баланса энергии запишем в виде

$$\int_{-l}^l P \frac{\partial w}{\partial t} dx = \frac{d}{dt} (T + \Pi) + 4\gamma l' \theta(l'), \quad (1.2)$$

где γ — плотность поверхностной энергии, высвобождающейся при распространении трещины; θ — функция Хевисайда; $l = l(t)$ — полудлина трещины; T , Π — кинетическая и потенциальная энергия балки:

$$T = \frac{\rho h}{2} \int_{-l}^l \left(\frac{\partial w}{\partial t} \right)^2 dx, \quad \Pi = \frac{EI}{2} \int_{-l}^l \left(\frac{\partial^2 w}{\partial x^2} \right)^2 dx.$$

В последнем члене уравнения (1.2) коэффициент, равный четырем, учитывает наличие двух трещин на концах балки и двух свободных поверхностей, образующихся при продвижении трещины. Кроме того, должно быть выполнено неравенство

$$l'(t) \geq 0, \quad (1.3)$$

которое следует из физического смысла задачи (образовавшаяся трещина не смыкается). Краевые и начальные условия имеют следующий вид:

$$w(l, t) = w_x(l, t) = 0, \quad w(-l, t) = w_x(-l, t) = 0; \quad (1.4)$$

$$w(x, 0) = w_t(x, 0) = 0, \quad l(0) = l_0, \quad l'(0) = 0. \quad (1.5)$$

2. Решение задачи для балки Эйлера. Прогиб балки представим в виде

$$w(x, t) = \sum_k^N A_k(t)W_k(x), \quad (2.1)$$

где $A_k(t)$ — неизвестные коэффициенты разложения; $W_k(x)$ — четные собственные функции для балки Эйлера с краевыми условиями (1.4); N — число мод разложения. Собственные функции $W_k(x)$ удовлетворяют уравнению

$$\frac{d^4 W_k}{dx^4} = \lambda_k^4 W_k(x)$$

и краевым условиям (1.4). Четные собственные функции имеют вид

$$W_k(x) = \cos(\lambda_k x) - \frac{\cos(\lambda_k l)}{\operatorname{ch}(\lambda_k l)} \operatorname{ch}(\lambda_k x),$$

где собственные числа $\lambda_k = \lambda_k(l)$ определяются соотношением

$$\operatorname{tg}(\lambda_k l) + \operatorname{th}(\lambda_k l) = 0. \quad (2.2)$$

При $k \rightarrow \infty$ $\operatorname{th}(\lambda_k l) \simeq 1$ и $\lambda_k \simeq (k - 1/4)\pi$. Отметим, что последнее приближенное равенство выполнено достаточно точно при $k \geq 2$. Собственные функции ортогональны:

$$\int_{-l}^l W_k(x)W_m(x) dx = B_k \delta_{km}, \quad B_k = \int_{-l}^l W_k^2(x) dx \quad (2.3)$$

(δ_{km} — символ Кронекера).

Из (2.2) следует

$$\lambda_k l = \operatorname{const}, \quad \frac{d\lambda_k}{dl} = -\frac{\lambda_k}{l}, \quad \frac{\partial}{\partial l} = -\frac{x}{l} \frac{\partial}{\partial x}.$$

Тогда из (2.1) получаем

$$\begin{aligned} \frac{\partial w}{\partial t} &= \sum_{k=1}^N A'_k(t)W_k(x) - \frac{l'}{l} \sum_{k=1}^N A_k(t)x \frac{\partial W_k}{\partial x}, \\ \frac{\partial^2 w}{\partial t^2} &= \sum_{k=1}^N A''_k(t)W_k(x) - 2 \frac{l'}{l} \sum_{k=1}^N A'_k(t)x \frac{\partial W_k}{\partial x} - \\ &\quad - \left(\frac{l''}{l} - 2 \frac{l'^2}{l^2} \right) \sum_{k=1}^N A_k(t)x \frac{\partial W_k}{\partial x} + \frac{l'^2}{l^2} \sum_{k=1}^N A_k(t)x^2 \frac{\partial^2 W_k}{\partial x^2}. \end{aligned}$$

Уравнение движения балки (1.1) принимает вид

$$\begin{aligned} \rho h \left[\sum_{k=1}^N A''_k(t)W_k(x) - \left(\frac{l''}{l} - 2 \frac{l'^2}{l^2} \right) \sum_{k=1}^N A_k(t)x \frac{\partial W_k}{\partial x} - 2 \frac{l'}{l} \sum_{k=1}^N A'_k(t)x \frac{\partial W_k}{\partial x} + \right. \\ \left. + \frac{l'^2}{l^2} \sum_{k=1}^N A_k(t)x^2 \frac{\partial^2 W_k}{\partial x^2} \right] + EI \sum_{k=1}^N A_k(t)\lambda_k^4 W_k(x) = P. \end{aligned}$$

Умножив это уравнение на $W_m(x)$ и проинтегрировав по x , получим

$$\rho h \left[A_m'' B_m - \left(\frac{l''}{l} - 2 \frac{l'^2}{l^2} \right) \sum_{k=1}^N C_{mk} A_k - 2 \frac{l'}{l} \sum_{k=1}^N C_{mk} A_k' + \frac{l'^2}{l^2} \sum_{k=1}^N G_{mk} A_k \right] + EI \lambda_m^4 A_m(t) B_m = P U_m. \quad (2.4)$$

Здесь

$$C_{mk} = \int_{-l}^l x W_m(x) \frac{\partial W_k}{\partial x} dx, \quad G_{mk} = \int_{-l}^l x^2 W_m(x) \frac{\partial^2 W_k}{\partial x^2} dx, \quad U_m = \int_{-l}^l W_m(x) dx. \quad (2.5)$$

Выражения для кинетической и потенциальной энергии имеют вид

$$T = \frac{\rho h}{2} \left(\sum_{k=1}^N A_k'^2(t) B_k - 2 \frac{l'}{l} \sum_{k=1}^N C_{mk} A_k A_m' + \frac{l'^2}{l^2} \sum_{k=1}^N D_{mk} A_k A_m \right),$$

$$\Pi = \frac{EI}{2} \sum_{k=1}^N A_k^2(t) \lambda_k^4 B_k, \quad D_{mk} = \int_{-l}^l x^2 \frac{\partial W_m}{\partial x} \frac{\partial W_k}{\partial x} dx.$$

Вычисляя интегралы, для коэффициентов матриц и векторов получаем выражения

$$G_{mk} = -2C_{mk} - D_{mk}, \quad B_m = l \bar{B}_m, \quad U_m = l \bar{U}_m, \quad C_{mk} = l \bar{C}_{mk}, \quad D_{mk} = l \bar{D}_{mk}, \quad (2.6)$$

где коэффициенты $\bar{B}_m, \bar{U}_m, \bar{C}_{mk}, \bar{D}_{mk}$ не зависят от l :

$$\bar{B}_m = \frac{2}{\text{th}^2(\lambda_m l) + 1}, \quad \bar{U}_m = 4 \frac{\sin(\lambda_m l)}{\lambda_m l}, \quad \bar{C}_{mk} = 8 \frac{\lambda_m^2 \lambda_k^2 \cos(\lambda_m l) \cos(\lambda_k l)}{\lambda_k^4 - \lambda_m^4},$$

$$\bar{D}_{mk} = \frac{8 \lambda_k^2 \lambda_m^2}{\lambda_m^4 - \lambda_k^4} \left(\frac{4(\lambda_m^4 + \lambda_k^4)}{\lambda_m^4 - \lambda_k^4} \cos(\lambda_k l) \cos(\lambda_m l) + \right. \\ \left. + \lambda_m l \sin(\lambda_m l) \cos(\lambda_k l) - \lambda_k l \sin(\lambda_k l) \cos(\lambda_m l) \right), \quad m \neq k, \\ \bar{D}_{kk} = 2 \frac{(\lambda_k l)^2 \text{th}^2(\lambda_k l) / 3 - \lambda_k l \text{th}(\lambda_k l) + 3/2}{\text{th}^2(\lambda_k l) + 1}.$$

При этом $\bar{C}_{km} = -\bar{C}_{mk}$ в случае $k \neq m$, $\bar{C}_{kk} = -\bar{B}_k/2$, $\bar{D}_{mk} = \bar{D}_{km}$.

Уравнение баланса энергии (1.2) принимает вид

$$P \sum_{k=1}^N A_k' l \bar{U}_k + l' P \sum_{k=1}^N A_k \bar{U}_k = \rho h \left[\sum_{m=1}^N A_m' A_m'' l \bar{B}_m + \frac{l'}{2} \sum_{m=1}^N A_m'^2 \bar{B}_m - l'' \sum_{k,m=1}^N \bar{C}_{mk} A_k A_m' + \right. \\ \left. + \left(\frac{l' l''}{l} - \frac{l'^3}{2l^2} \right) \sum_{k,m=1}^N \bar{D}_{mk} A_k A_m - l' \sum_{k,m=1}^N \bar{C}_{mk} (A_k' A_m' + A_k A_m'') + \frac{l'^2}{l} \sum_{k,m=1}^N \bar{D}_{mk} A_k A_m' \right] + \\ + EI \sum_{m=1}^N A_m A_m' \lambda_m^4 l \bar{B}_m - 3 \frac{EI l'}{2l^4} \sum_{m=1}^N A_m^2 (\lambda_m l)^4 \bar{B}_m + 4 \gamma l' \theta(l'). \quad (2.8)$$

Умножим уравнение (2.4) на A'_m и просуммируем по m , а затем вычтем полученное уравнение из уравнения (2.8). В результате имеем

$$P \sum_{k=1}^N A_k \bar{U}_k = \rho h \left[\left(\frac{l''}{l} - \frac{l'^2}{2l^2} \right) \sum_{k,m=1}^N \bar{D}_{mk} A_k A_m - \sum_{k,m=1}^N \bar{C}_{mk} A_k A'_m + \right. \\ \left. + 2 \frac{l'}{l} \sum_{k,m=1}^N \bar{D}_{mk} A_k A'_m \right] - 3 \frac{EI}{2l^4} \sum_{m=1}^N A_m^2 (\lambda_m l)^4 \bar{B}_m + 4\gamma\theta(l').$$

Подставляя в это уравнение выражение для $A''_m(t)$, находим

$$\frac{l''}{l} \sum_{k,m=1}^N F_{mk} A_k A_m = \frac{P}{\rho h} \sum_{k=1}^N A_k \left(\bar{U}_k + \sum_{m=1}^N \frac{\bar{C}_{mk} \bar{U}_m}{\bar{B}_m} \right) + 3 \frac{EI}{2\rho h l^4} \sum_{m=1}^N A_m^2 (\lambda_m l)^4 \bar{B}_m - \\ - \frac{4\gamma\theta(l')}{\rho h} - 2 \frac{l'}{l} \sum_{k,m=1}^N F_{mk} A_k A'_m + \frac{l'^2}{l^2} \sum_{k,m=1}^N H_{mk} A_k A_m, \quad (2.9)$$

$$F_{mk} = \bar{D}_{mk} - \sum_{j=1}^N \frac{\bar{C}_{jk} \bar{C}_{jm}}{\bar{B}_j}, \quad H_{mk} = \frac{\bar{D}_{mk}}{2} + \sum_{j=1}^N \frac{\bar{C}_{jk} \bar{D}_{jm}}{\bar{B}_j}.$$

Из начальных условий (1.5) следует

$$A_m(0) = A'_m(0) = 0, \quad l(0) = l_0, \quad l'(0) = 0. \quad (2.10)$$

Таким образом, для расчета движения балки имеем уравнения (2.4), (2.9) и неравенство (1.3). Подставив в уравнение (2.4) выражение для l'' из (2.9), получим систему нелинейных уравнений второго порядка, разрешенную относительно старших производных. К этой системе необходимо добавить неравенство (1.3) с начальными условиями (2.10). Полученная система сводится к системе уравнений первого порядка и решается вместе с неравенством (1.3) методом Рунге — Кутты четвертого порядка [6]. Поскольку все члены уравнений (2.4), (2.9) дифференцируемы и $l(t) \geq l_0$, для единственности решения необходимо, чтобы выполнялось неравенство $R = \sum_{j=1}^N F_{mk} A_m A_k \geq \varepsilon > 0$ [7]. Матрица F сим-

метрична. Исследовались собственные значения матрицы F при различном числе мод. Оказалось, что в спектре матрицы имеются как положительные собственные значения, так и отрицательные. Таким образом, величина R может менять знак, и поэтому ветвление решений в данной задаче возможно. В начальный момент $R = 0$, что следует из начальных условий. Однако в начальный момент трещина не растет: $l'(0) = 0$, поэтому на первом шаге по времени решалось уравнение (2.4) с фиксированной длиной трещины. На следующих шагах по времени величина $R(t)$ контролировалась и в проведенных расчетах была положительной. Результаты расчетов с различным числом мод (5, 10, 20) хорошо согласуются, что свидетельствует об устойчивости расчетной модели.

3. Постановка задачи для балки Тимошенко. Движение балки Тимошенко описывается системой уравнений [8, 9]

$$\rho h \frac{\partial^2 w}{\partial t^2} + hG \left(\frac{\partial \beta}{\partial x} - \frac{\partial^2 w}{\partial x^2} \right) = P, \quad G = \frac{E}{2(1+\nu)}, \\ \rho I \frac{\partial^2 \beta}{\partial t^2} + hG \left(\beta - \frac{\partial w}{\partial x} \right) - EI \frac{\partial^2 \beta}{\partial x^2} = 0,$$

где G — модуль сдвига; ν — коэффициент Пуассона; β — угол поворота поперечного сечения балки при пренебрежении сдвигом; наклон касательной к балке определяется соотношением $\partial w/\partial x = \beta + \psi$; ψ — угол сдвига.

Кроме того, используются уравнение баланса энергии (1.2), где

$$T = \frac{1}{2} \int_{-l}^l \left[\rho h \left(\frac{\partial w}{\partial t} \right)^2 + \rho I \left(\frac{\partial \beta}{\partial t} \right)^2 \right] dx, \quad \Pi = \frac{1}{2} \int_{-l}^l \left[EI \left(\frac{\partial \beta}{\partial x} \right)^2 + Gh \left(\frac{\partial w}{\partial x} - \beta \right)^2 \right] dx,$$

и неравенство (1.3). Краевые и начальные условия имеют следующий вид:

$$w(l, t) = \beta(l, t) = 0, \quad w(-l, t) = \beta(-l, t) = 0; \quad (3.1)$$

$$w(x, 0) = w_t(x, 0) = 0, \quad \beta(x, 0) = \beta_t(x, 0) = 0, \quad l(0) = l_0, \quad l'(0) = 0. \quad (3.2)$$

4. Решение задачи для балки Тимошенко. Как и для балки Эйлера, решение будем искать в виде разложения по собственным функциям. Собственные функции для балки Тимошенко с краевыми условиями, аналогичными (3.1) и (3.2), найдены в [9]. Введем следующие обозначения (см. [3]):

$$c_0^2 = E/\rho, \quad c_2^2 = G/\rho, \quad a^2 = c_0^2 h^2/12.$$

Тогда для собственных функций $W_n(x)$, $\beta_n(x)$ получим систему

$$\begin{aligned} \frac{\partial^2 W_n}{\partial x^2} - \frac{\partial \beta_n}{\partial x} &= -\frac{\omega_n^2}{c_2^2} W_n, \\ \frac{\partial^2 \beta_n}{\partial x^2} + \frac{c_2^2}{a^2} \left(\frac{\partial W_n}{\partial x} - \beta_n \right) &= -\frac{\omega_n^2}{c_0^2} \beta_n. \end{aligned} \quad (4.1)$$

Исключая из этой системы β_n , находим уравнение для W_n

$$\frac{\partial^4 W_n}{\partial x^4} + \omega_n^2 \left(\frac{1}{c_2^2} + \frac{1}{c_0^2} \right) \frac{\partial^2 W_n}{\partial x^2} + \left(\frac{\omega_n^4}{c_2^2 c_0^2} - \frac{\omega_n^2}{a^2} \right) W_n = 0. \quad (4.2)$$

Решение уравнения (4.2) будем искать в виде $W_n(x) = \exp(k_n x)$. Тогда коэффициенты k_n определяются выражением

$$k_n^2 = -\frac{\omega_n^2}{2} \left(\frac{1}{c_2^2} + \frac{1}{c_0^2} \right) \pm \sqrt{\frac{\omega_n^4}{4} \left(\frac{1}{c_2^2} + \frac{1}{c_0^2} \right)^2 - \frac{\omega_n^4}{c_2^2 c_0^2} + \frac{\omega_n^2}{a^2}}.$$

Отсюда получаем четыре корня:

$$k_n^{1,2} = \pm i \lambda_n, \quad k_n^{3,4} = \begin{cases} \pm \mu_n, & \omega_n^2 < 12c_2^2/h^2, \\ \pm i \mu_n, & \omega_n^2 > 12c_2^2/h^2, \end{cases}$$

$$\lambda_n = \sqrt{\frac{\omega_n^2}{2} \left(\frac{1}{c_2^2} + \frac{1}{c_0^2} \right) + \sqrt{\frac{\omega_n^4}{4} \left(\frac{1}{c_2^2} + \frac{1}{c_0^2} \right)^2 - \frac{\omega_n^4}{c_2^2 c_0^2} + \frac{\omega_n^2}{a^2}}},$$

$$\mu_n = \sqrt{\left| \sqrt{\frac{\omega_n^4}{4} \left(\frac{1}{c_2^2} + \frac{1}{c_0^2} \right)^2 - \frac{\omega_n^4}{c_2^2 c_0^2} + \frac{\omega_n^2}{a^2}} - \frac{\omega_n^2}{2} \left(\frac{1}{c_2^2} + \frac{1}{c_0^2} \right) \right|}.$$

С учетом симметрии задачи относительно оси Oy найдем четные функции $W_n(x)$ и соответствующие им нечетные функции $\beta_n(x)$. Тогда при $\omega_n^2 < 12c_2^2/h^2$ имеем представление

$$W_n(x) = a_n \cos(\lambda_n x) + b_n \operatorname{ch}(\mu_n x), \quad \beta_n(x) = c_n \sin(\lambda_n x) + d_n \operatorname{sh}(\mu_n x), \quad (4.3)$$

а при $\omega_n^2 > 12c_2^2/h^2$ — представление

$$W_n(x) = a_n \cos(\lambda_n x) + b_n \cos(\mu_n x), \quad \beta_n(x) = c_n \sin(\lambda_n x) + d_n \sin(\mu_n x). \quad (4.4)$$

Подставляя выражения (4.3), (4.4) в систему (4.1), находим

$$c_n = a_n(\omega_n^2/c_2^2 - \lambda_n^2)/\lambda_n, \quad d_n = \begin{cases} b_n(\omega_n^2/c_2^2 + \mu_n^2)/\mu_n, & \omega_n^2 < 12c_2^2/h^2, \\ b_n(\omega_n^2/c_2^2 - \mu_n^2)/\mu_n, & \omega_n^2 > 12c_2^2/h^2. \end{cases}$$

Коэффициенты a_n , b_n и собственные частоты ω_n определяются из краевых условий (3.1). Ненулевое решение системы возможно только в том случае, если определитель системы обращается в нуль. Тогда получаем

$$b_n = \begin{cases} -a_n \cos(\lambda_n l) / \operatorname{ch}(\mu_n l), & \omega_n^2 < 12c_2^2/h^2, \\ -a_n \cos(\lambda_n l) / \cos(\mu_n l), & \omega_n^2 > 12c_2^2/h^2. \end{cases}$$

При этом собственные частоты определяются уравнениями

$$\frac{\omega_n^2/c_2^2 + \mu_n^2}{\mu_n} \operatorname{th}(\mu_n l) - \frac{\omega_n^2/c_2^2 - \lambda_n^2}{\lambda_n} \operatorname{tg}(\lambda_n l) = 0, \quad \omega_n^2 < \frac{12c_2^2}{h^2}; \quad (4.5)$$

$$\frac{\omega_n^2/c_2^2 - \mu_n^2}{\mu_n} \operatorname{tg}(\mu_n l) - \frac{\omega_n^2/c_2^2 - \lambda_n^2}{\lambda_n} \operatorname{tg}(\lambda_n l) = 0, \quad \omega_n^2 > \frac{12c_2^2}{h^2}. \quad (4.6)$$

В [9] показано, что собственные функции удовлетворяют условиям ортогональности

$$\int_{-l}^l [\rho h W_n(x) W_m(x) + \rho I \beta_n(x) \beta_m(x)] dx = B_m \delta_{nm},$$

$$\int_{-l}^l \left(EI \frac{\partial \beta_n}{\partial x} \frac{\partial \beta_m}{\partial x} + Gh(W_n' - \beta_n)(W_m' - \beta_m) \right) dx = \omega_m^2 B_m \delta_{nm},$$

$$B_m = \int_{-l}^l [\rho h W_m^2(x) + \rho I \beta_m^2(x)] dx.$$

Решение задачи будем искать в виде

$$w(x, t) = \sum_{k=1}^N A_k(t) W_k(x), \quad \beta(x, t) = \sum_{k=1}^N A_k(t) \beta_k(x).$$

Отметим, что в разложениях для $w(t)$ и $\beta(t)$ коэффициенты $A_k(t)$ одни и те же. Имеем

$$\frac{\partial w}{\partial t} = \sum_{k=1}^N A_k'(t) W_k(x) + l' \sum_{k=1}^N A_k(t) \frac{\partial W_k}{\partial l},$$

$$\frac{\partial^2 w}{\partial t^2} = \sum_{k=1}^N A_k''(t) W_k(x) + 2l' \sum_{k=1}^N A_k'(t) \frac{\partial W_k}{\partial l} + l'' \sum_{k=1}^N A_k(t) \frac{\partial W_k}{\partial l} + l'^2 \sum_{k=1}^N A_k(t) \frac{\partial^2 W_k}{\partial l^2},$$

$$\frac{\partial \beta}{\partial t} = \sum_{k=1}^N A_k'(t) \beta_k(x) + l' \sum_{k=1}^N A_k(t) \frac{\partial \beta_k}{\partial l},$$

$$\begin{aligned} \frac{\partial^2 \beta}{\partial t^2} &= \sum_{k=1}^N A_k''(t) \beta_k(x) + 2l' \sum_{k=1}^N A_k'(t) \frac{\partial \beta_k}{\partial l} + l'' \sum_{k=1}^N A_k(t) \frac{\partial \beta_k}{\partial l} + l'^2 \sum_{k=1}^N A_k(t) \frac{\partial^2 \beta_k}{\partial l^2}, \\ T &= \frac{1}{2} \sum_{m=1}^N A_m'^2(t) B_m + l' \sum_{k,m=1}^N C_{mk} A_k(t) A_m'(t) + \frac{l'^2}{2} \sum_{k,m=1}^N D_{mk} A_k(t) A_m(t), \\ \Pi &= \frac{1}{2} \sum_{m=1}^N A_m^2(t) \omega_m^2 B_m. \end{aligned}$$

Здесь

$$\begin{aligned} C_{mk} &= \int_{-l}^l \left(\rho h W_m(x) \frac{\partial W_k}{\partial l} + \rho I \beta_m(x) \frac{\partial \beta_k}{\partial l} \right) dx, \\ D_{mk} &= \int_{-l}^l \left(\rho h \frac{\partial W_m}{\partial l} \frac{\partial W_k}{\partial l} + \rho I \frac{\partial \beta_m}{\partial l} \frac{\partial \beta_k}{\partial l} \right) dx. \end{aligned}$$

Подставим эти выражения в уравнения движения балки и умножим первое уравнение на $W_m(x)$, второе — на $\beta_m(x)$, проинтегрируем их по x и сложим. В результате с учетом соотношений ортогональности получим

$$[A_m''(t) + \omega_m^2 A_m] B_m + 2l' \sum_{k=1}^N C_{mk} A_k'(t) + l'' \sum_{k=1}^N C_{mk} A_k(t) + l'^2 \sum_{k=1}^N G_{mk} A_k(t) = P U_m, \quad (4.7)$$

где

$$U_m = \int_{-l}^l W_m(x) dx, \quad G_{mk} = \int_{-l}^l \left(\rho h W_m(x) \frac{\partial^2 W_k}{\partial l^2} + \rho I \beta_m(x) \frac{\partial^2 \beta_k}{\partial l^2} \right) dx.$$

Уравнение баланса энергии принимает вид

$$\begin{aligned} P \sum_{k=1}^N \left(A_k' U_k + l' A_k \frac{\partial U_k}{\partial l} \right) &= \sum_{m=1}^N (A_m'' + \omega_m^2 A_m) A_m' B_m + \\ &+ \frac{l'}{2} \sum_{m=1}^N \left(A_m'^2 \frac{\partial B_m}{\partial l} + A_m^2 \frac{\partial (\omega_m^2 B_m)}{\partial l} \right) + l'' \sum_{k,m=1}^N C_{mk} A_k A_m' + l'^2 \sum_{k,m=1}^N \frac{\partial C_{mk}}{\partial l} A_k A_m' + \\ &+ l' \sum_{k,m=1}^N C_{mk} (A_k' A_m' + A_k A_m'') + l' l'' \sum_{k,m=1}^N D_{mk} A_k A_m + \frac{l'^3}{2} \sum_{k,m=1}^N \frac{\partial D_{mk}}{\partial l} A_k A_m + \\ &+ l'^2 \sum_{k,m=1}^N D_{mk} A_k A_m' + 4\gamma l' \theta(l'). \end{aligned} \quad (4.8)$$

Умножим уравнение (4.7) на A'_m и просуммируем по m . Полученное уравнение вычтем из (4.8). С учетом соотношения $\partial C_{mk}/\partial l = G_{mk} + D_{mk}$ находим

$$P \sum_{m=1}^N A_m \frac{\partial U_m}{\partial l} = \frac{1}{2} \sum_{m=1}^N \left(A_m'^2 \frac{\partial B_m}{\partial l} + A_m^2 \frac{\partial (\omega_m^2 B_m)}{\partial l} \right) + 2l' \sum_{k,m=1}^N D_{mk} A_k A'_m + \\ + \sum_{k,m=1}^N C_{mk} (A_k A''_m - A'_k A'_m) + l'' \sum_{k,m=1}^N D_{mk} A_k A_m + \frac{l'^2}{2} \sum_{k,m=1}^N \frac{\partial D_{mk}}{\partial l} A_k A_m + 4\gamma\theta(l').$$

Подставив в это уравнение выражение для A''_m из (4.7), получаем уравнение распространения трещины в виде

$$l'' \sum_{k,m=1}^N F_{mk} A_k A_m = P \sum_{k=1}^N A_k \left(\frac{\partial U_k}{\partial l} - \sum_{m=1}^N \frac{C_{mk} U_m}{B_m} \right) - \\ - \frac{1}{2} \sum_{m=1}^N \left(A_m'^2 \frac{\partial B_m}{\partial l} + A_m^2 \frac{\partial (\omega_m^2 B_m)}{\partial l} \right) + \sum_{k,m=1}^N C_{mk} \omega_m^2 A_k A_m + \sum_{k,m=1}^N C_{mk} A'_k A'_m - \\ - 2l' \sum_{k,m=1}^N F_{mk} A_k A'_m - \frac{l'^2}{2} \sum_{k,m=1}^N H_{mk} A_k A_m - 4\gamma\theta(l'), \quad (4.9)$$

$$F_{mk} = D_{mk} - \sum_{j=1}^N \frac{C_{jk} C_{jm}}{B_j}, \quad H_{mk} = \frac{\partial D_{mk}}{\partial l} - 2 \sum_{j=1}^N \frac{C_{jk} G_{jm}}{B_j}.$$

Выражения для коэффициентов матриц достаточно громоздки и здесь не приводятся. Производная $\partial \omega_n^2 / \partial l$ вычисляется дифференцированием уравнений (4.5), (4.6), далее с ее помощью вычисляются остальные производные.

Из начальных условий (3.2) следует

$$A_m(0) = A'_m(0) = 0, \quad l(0) = l_0, \quad l'(0) = 0. \quad (4.10)$$

Таким образом, для расчета движения балки имеем уравнения (4.7), (4.9), неравенство (1.3) и начальные условия (4.10). Эта система нелинейных уравнений второго порядка сводится к системе уравнений первого порядка и вместе с неравенством (1.3) решается методом Рунге — Кутты четвертого порядка [6]. Как и для балки Эйлера, для единствен-

ности решения системы необходимо, чтобы выполнялось неравенство $R = \sum_{j=1}^N F_{mk} A_m A_k \geq \varepsilon > 0$. Первый шаг по времени рассчитывается при фиксированных границах трещины. На

следующих шагах по времени величина $R(t)$ контролировалась и в проведенных расчетах была положительной. Результаты расчетов с различным числом мод (5, 10, 19) хорошо согласуются.

5. Численные результаты. В качестве примера рассмотрим деревянную балку со следующими параметрами: $E = 10^9$ Н/м², $\nu = 0,3$, $\rho = 500$ кг/м³, $l_0 = 0,3$ м. Плотность поверхностной энергии клевого слоя принята равной 0,5 Н/м. Толщина балки 0,02 и 0,03 м, величина приложенной нагрузки меняется в пределах $P = 500 \div 900$ Н/м² для балки толщиной 0,02 м и $P = 1100 \div 1500$ Н/м² для балки толщиной 0,03 м.

Поскольку действующая нагрузка постоянна во времени, можно вычислить критическую нагрузку, используя теорию равновесных трещин Баренблатта [10]. В работах [1, 5]

рассмотрена трещина, распространяющаяся в балке Эйлера (расслоение этой балки). Для балки Эйлера в [5] с помощью теории [10] получено условие роста трещины для стационарной задачи, а в [1] с помощью принципа наименьшего действия — для нестационарной задачи. Эти условия одни и те же. В рассматриваемом случае с учетом того, что балка одна и содержит трещину с двумя концами, это условие принимает вид

$$M(l, t) = EI \frac{\partial^2 w}{\partial x^2}(l, t) = 2\sqrt{\gamma EI}. \quad (5.1)$$

В [1] отмечено, что в балочном приближении условие (5.1) играет ту же роль, что и условие конечности напряжений Баренблатта [10].

Решение статической задачи об изгибе балки Эйлера имеет вид

$$w(x) = P(x^2 - l_0^2)^2 / (24EI).$$

Из (5.1) получаем условие роста трещины

$$P > P_0 = 6\sqrt{\gamma EI} / l_0^2.$$

Для балки толщиной 0,02 м $P_0 \simeq 1217$ Н/м². Решение нестационарной задачи с нулевыми начальными условиями имеет вид

$$w(x, t) = \frac{P}{EI} \sum_{k=1}^{\infty} \frac{U_k}{\lambda_k^4 B_k} [1 - \cos(\omega_k t)] W_k(x), \quad \omega_k^2 = \frac{EI \lambda_k^4}{\rho h},$$

где U_k, B_k определяются выражениями (2.3), (2.5)–(2.7). Из (5.1) получаем условие роста трещины $P > P_m$. Для балок толщиной 0,02 и 0,03 м $P_m \simeq 600, 1103$ Н/м соответственно.

В [3] для балки Тимошенко получено условие в конце трещины, обеспечивающее ее рост. В рассматриваемом случае это условие имеет вид

$$K \equiv \left(\frac{\partial w}{\partial x}\right)^2 \frac{c_2^2}{a^2} \left[1 - \frac{1}{c_2^2} \left(\frac{dl}{dt}\right)^2\right] + \left(\frac{\partial \beta}{\partial x}\right)^2 \left[1 - \frac{1}{c_0^2} \left(\frac{dl}{dt}\right)^2\right] = \frac{4\gamma}{EI}. \quad (5.2)$$

Численные расчеты нестационарной задачи по приведенному алгоритму показали следующее. При нагрузке $P = 600$ Н/м трещина не росла, движение балки соответствовало решению задачи с фиксированными концами трещины. Для обеих моделей балки незначительный рост трещины начинался при нагрузке $P = 615$ Н/м. При умеренной сверхкритической нагрузке рост трещины имел скачкообразный характер: периоды роста трещины чередовались с периодами ее остановки. Достигнув некоторой длины, при которой заданная нагрузка уже не является сверхкритической, трещина прекращала расти. Так, при нагрузке $P = 700$ Н/м трещина росла и в случае балки Эйлера, и в случае балки Тимошенко. Наиболее существенное увеличение длины трещины произошло в течение 0,01 с, затем имели место небольшие периоды роста, в которые длина трещины увеличивалась незначительно. В случае балки Эйлера рост трещины продолжался в течение 0,615 с, ее конечная длина составляла 0,321 м. Для балки Тимошенко время роста трещины 0,898 с, конечная длина 0,322 м.

При большой сверхкритической нагрузке в расчетах наблюдается интенсивный неограниченный рост трещины. Однако линейная модель балки применима лишь при ее малых прогибах, т. е. на начальной стадии роста трещины, в дальнейшем необходимо использовать нелинейную модель. Так, при приложении нагрузки $P = 800$ Н/м для обеих моделей балки длина трещины начала увеличиваться, затем движение ее прекратилось, после чего начался интенсивный рост трещины. При приложении нагрузки $P = 900$ Н/м сразу начался интенсивный рост трещины. Смена типов решений, соответствующих ограниченному и неограниченному росту трещины, в случае балки Эйлера произошла при нагрузке $P = 779$ Н/м, в случае балки Тимошенко — при $P = 778$ Н/м.

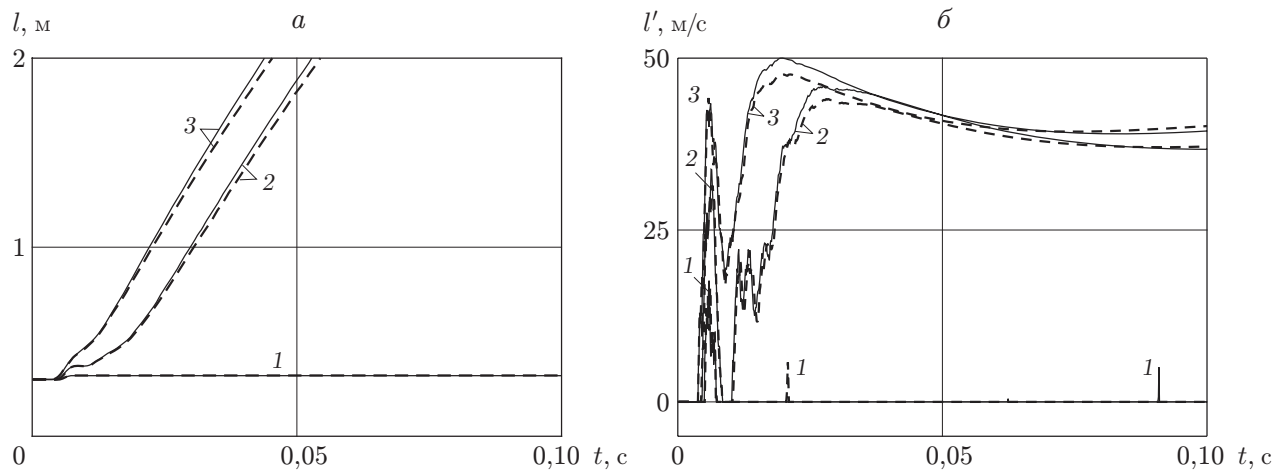


Рис. 2. Зависимости $l(t)$ (а) и $l'(t)$ (б) при различных значениях нагрузки: сплошные линии — балка Эйлера; штриховые линии — балка Тимошенко; 1 — $P = 700$ Н/м; 2 — $P = 800$ Н/м; 3 — $P = 900$ Н/м

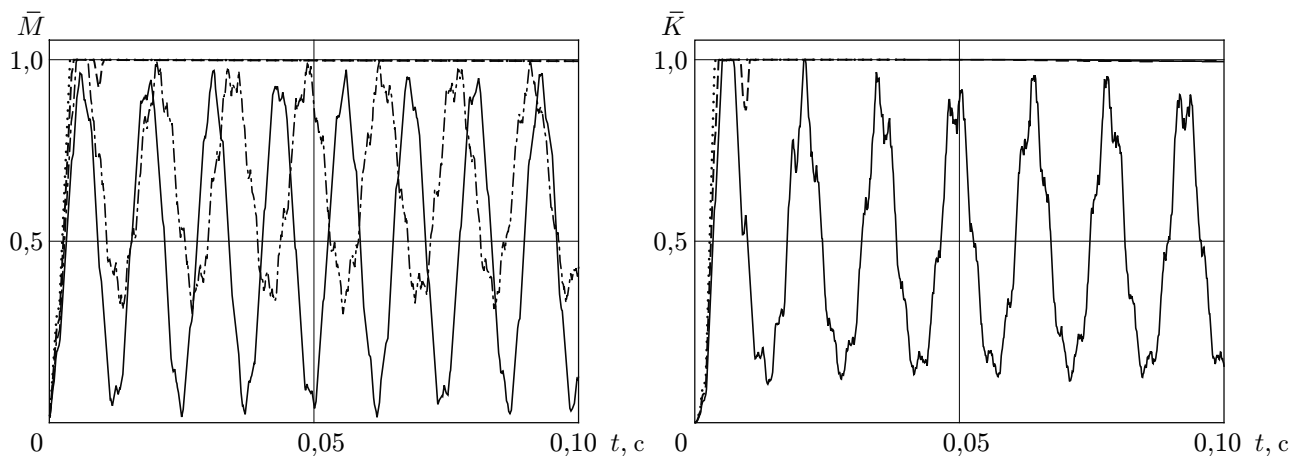


Рис. 3

Рис. 4

Рис. 3. Зависимость безразмерного момента \bar{M} от времени при различных значениях нагрузки:

сплошные линии — $P = 600$ Н/м; штрихпунктирные — $P = 700$ Н/м; штриховые — $P = 800$ Н/м; пунктирные линии — $P = 900$ Н/м

Рис. 4. Зависимость $\bar{K}(t)$ при различных значениях нагрузки:

сплошные линии — $P = 700$ Н/м; штриховые — $P = 800$ Н/м; пунктирные линии — $P = 900$ Н/м

На рис. 2 приведены зависимости $l(t)$ и $l'(t)$ при различных значениях нагрузки. Видно, что решения по обеим моделям балки (Эйлера и Тимошенко) хорошо согласуются. В [3] утверждается, что в случае балки Эйлера скорость распространения трещины может быть сколь угодно велика. Однако в рассмотренном примере и в других расчетах этого не наблюдалось. Более того, для моделей балки Эйлера и Тимошенко скорости распространения трещины близки, причем процесс роста трещины имеет скачкообразный характер.

На рис. 3 представлена зависимость приведенного изгибающего момента в кончике трещины от времени $\bar{M}(t) = M(l, t)/(2\sqrt{\gamma EI})$ для балки Эйлера, а на рис. 4 — зависимость

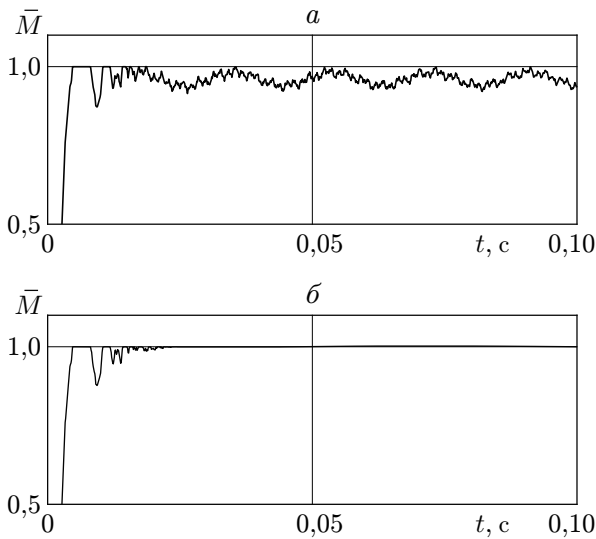


Рис. 5

Рис. 5. Зависимость $\bar{M}(t)$ для балки Эйлера:

a — $P = 778$ Н/м; b — $P = 779$ Н/м

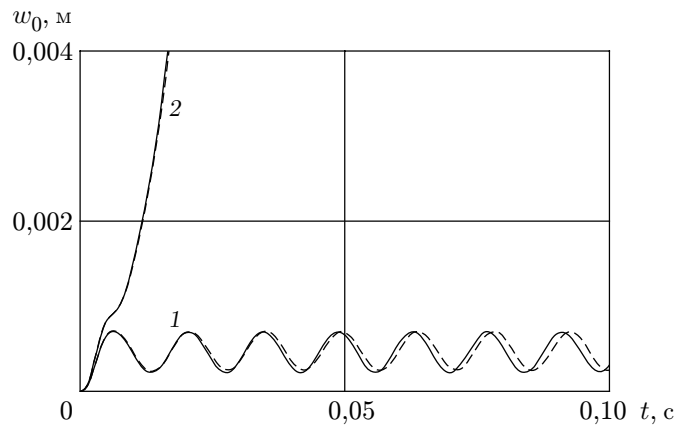


Рис. 6

Рис. 6. Зависимость прогиба балки в ее середине от времени $w_0(t) = w(0, t)$:

сплошные линии — балка Эйлера; штриховые — балка Тимошенко; 1 — $P = 700$ Н/м, 2 — $P = 900$ Н/м

величины $\bar{K} = KEI/(4\gamma)$ от времени для балки Тимошенко. Из рис. 2–4 следует, что в период роста трещины условия (5.1) для балки Эйлера и (5.2) для балки Тимошенко выполняются с большой точностью, хотя в алгоритм решения задачи эти условия не введены. На рис. 5 показаны зависимости $\bar{M}(t)$ при $P = 778, 779$ Н/м, на которых видна смена типов решений. Периодам роста трещины соответствуют значения $\bar{M} = 1$, периодам прекращения роста — значения $\bar{M} < 1$. При увеличении нагрузки значение $\bar{M}(t)$ приближается к единице.

На рис. 6 представлена зависимость прогиба балки в ее середине от времени $w_0(t) = w(0, t)$ при $P = 700, 900$ Н/м. При нагрузке $P = 700$ Н/м, несколько большей критической, движение балки имеет колебательный характер. При $P = 900$ Н/м — нагрузке, существенно превышающей критическую, — длина трещины и прогиб балки увеличиваются монотонно.

Аналогичные расчеты проведены для $h_0 = 0,03$ м, соответствующие кривые для моделей балки Эйлера и Тимошенко различаются незначительно. Полученные результаты позволяют сделать вывод о том, что модель балки Эйлера может быть использована для расчета прочности облицовочных покрытий и балок.

ЛИТЕРАТУРА

1. Михайлов А. М. Динамические задачи теории трещин в балочном приближении // ПМТФ. 1966. № 5. С. 167–172.
2. Михайлов А. М. Некоторые задачи теории трещин в балочном приближении // ПМТФ. 1967. № 5. С. 128–133.
3. Михайлов А. М. Обобщение балочного подхода к задачам теории трещин // ПМТФ. 1969. № 3. С. 171–174.

4. **Михайлов А. М.** Распространение трещин скола в монокристаллах фтористого лития // ПМТФ. 1970. № 4. С. 119–122.
5. **Слепян Л. И.** Механика трещин. Л.: Судостроение, 1981.
6. **Годунов С. К.** Разностные схемы (введение в теорию) / С. К. Годунов, В. С. Рябенский. М.: Наука, 1977.
7. **Петровский И. Г.** Лекции по теории обыкновенных дифференциальных уравнений. М.: Наука, 1970.
8. **Тимошенко С. П.** Колебания в инженерном деле. М.: Физматгиз, 1959.
9. **Jan Kvalswold.** Hydroelastic modelling of wetdeck slamming on multihull vessels: Dr. ingng thesis. Trondheim: Department of Marine Hydrodynamics The Norwegian Inst. of Technol., 1994.
10. **Баренблатт Г. И.** Математическая теория равновесных трещин, образующихся при хрупком разрушении // ПМТФ. 1961. № 4. С. 3–56.

*Поступила в редакцию 12/IV 2007 г.,
в окончательном варианте — 1/VIII 2007 г.*
